

67-71

3672(13)

动物学研究 1994, 15 (4): 67—71

CN 53-1040/Q ISSN 0254-5853

Zoological Research

## 曼氏血吸虫发育过程中的基因组 DNA 变异

樊晋江

(浙江省医学科学院寄生虫病研究所\* 杭州 310013)

Paul J. Brindley

(昆士兰医学研究所热带卫生规划处, 澳大利亚昆士兰 4029)

Brindley, PJ

R383.24

A

**摘要** 曼氏血吸虫(*Schistosoma mansoni*)和日本血吸虫(*S. japonicum*)成虫和曼氏血吸虫尾蚴基因组 DNA 经限制性内切酶 *Bam* H I 消化后, 分别与<sup>32</sup>p-dCTP 标记的来源于核糖体 DNA 的 pSM HCR5、pSM HCR4 PSM 889 探针杂交。曼氏血吸虫尾蚴和成虫在 pSM HCR4 杂交带型的 1.6—2.8 kb 之间, 存在有明显不同的次杂交带; 而 pSM HCR5 和 pSM 889 的杂交带型, 无明显差异。此外, pSM HCR5 杂交带型中, 日本血吸虫成虫无 3.0 kb 带, 可明显区别于曼氏血吸虫。结果表明, 在曼氏血吸虫尾蚴至成虫的发育过程中, 基因组 DNA 发生缺失或重组。这一发现进一步证实了曼氏血吸虫毛蚴与成虫间存在发育期特异性 DNA 的假设。曼氏血吸虫发育过程中, 基因组 DNA 的动态变化可能与其适应环境有关。

**关键词** 曼氏血吸虫, 个体发育, 基因缺失, DNA 杂交, 限制性内切酶

基因组, DNA

血吸虫在螺蛳和哺乳动物寄主中发育, 经历着巨大的形态、生理和生化上的变化。血吸虫在螺蛳体内行无性繁殖, 而在哺乳动物体内交配、产卵行有性生殖。毛蚴和尾蚴均需与外界环境短期接触后, 寻求寄主才能进一步发育。

虽然已有关于血吸虫发育过程中基因组 DNA 变异的报道(Nara 等, 1990), 但是有些学者(McCutchan 等, 1984)则认为血吸虫不同生活史阶段的基因组 DNA 多态非常相似。在某些真核生物中, 已发现发育过程中的基因重组现象与抗性差异(Seidman 等, 1978)、细胞表面抗原变异(Van der Ploeg 等, 1989)、卵壳蛋白基因的表达(Sprindling 等, 1980)有关。

本文为进一步证实血吸虫发育过程中基因组 DNA 变异, 我们对曼氏血吸虫(*S. mansoni*; OZ. A 株)尾蚴和成虫, 另一株曼氏血吸虫(*S. mansoni*; NMRI 株)成虫以及日本血吸虫(*S. japonicum*; 安徽株)成虫用 3 种不同核糖体 RNA 基因探针进行了分子杂交实验。

## 1 材料和方法

血吸虫成虫和尾蚴: 曼氏血吸虫(*S. mansoni*; OZ. A 和 NMRI 株)成虫, 尾蚴

\* 世界卫生组织疟虫病研究合作中心

本文 1993 年 10 月 4 日收到, 1994 年 3 月 21 日修回

(OZ. A 株), 以及日本血吸(*S. japonicum*; 安徽株)成虫, 均由澳大利亚昆士兰医学研究所分子生物学实验室提供。

**基因组 DNA 制备:** 约 100 条成虫或大批量尾蚴用生理盐水洗净后置于小量提取液中 (50 mM Tris-HCl, 50 mM EDTA, 100 mM NaCl, pH8.0), 将虫体研磨匀浆, 加 1.8 ml 提取液, 0.2 ml 10% SDS, 100 ml 蛋白酶 K (20 mg/ml), 充分摇匀在 37℃ 间歇温床培养 2 h。用等体积酚、酚/氯仿、氯仿抽提 3 次, 最后用 100% 乙醇沉淀, 并用 70% 乙醇洗涤 1 次, 真空干燥, 重溶于 TE 缓冲液 (pH7.4), 储存 -70℃ 备用。

**酶:** 限制内切酶 *Bam* H I、*Hind* III 和 *Pst* I 均用于消化血吸虫成虫和尾蚴的基因组 DNA 或切割载体质粒。操作均按 (Boehringer Mannheim Biochemicals) 公司所提供的产品说明进行。

**基因探针制备及其放射性标记:** DNA 探针有 3 个。pSM HCR4 (0.8 kb) 和 pSM 889 (4.4 kb) 系曼氏血吸虫核糖体 rRNA 基因的 *Pst* I 片段和 *Bam* H I 片段 (由 Dr. Brindley 实验室提供)。pSM HCR5 (0.8 kb) 是我们采用 pSM HCR0 (=pSM 389) (3.1 kb) 的 *Bam* H I / *Hind* III 非转录间隔区 (NTS) 片段, 用过量 T4 连接酶与载体 PUC 19 结合, 克隆入大肠杆菌 (*Escherichia coli*; DH<sub>5</sub> $\alpha$ ), 在重组 DNA 提取和纯化后获得。各探针来源见图 1 所示。DNA 探针以 <sup>32</sup>P-dCTP 按缺口平移法标记。标记活性为 1 × 10<sup>8</sup> cpm / μg。

**Southern 印渍:** 血吸虫基因组 DNA 采用限制性内切酶 (*Bam* H I) 在 37℃ 消化 2—4 h。DNA 消化产物以 0.8% 琼脂糖凝胶 (agarose gel) 平板电泳 16 h 分离 (40V)。然后, 据 Southern (1975) 方法, 转印于硝酸纤维膜上。

**膜杂交:** 用 <sup>32</sup>P 标记的 pSM HCR5、pSM HCR4、pSM 889 与硝酸纤维膜在 30 ml 杂交液中 (1 mM EDTA, 0.2 M Na<sub>2</sub>HPO<sub>4</sub>, 7% SDS), 65℃ 温床杂交 24 h。然后, 顺序洗涤杂交膜 3 次, 保持湿润备用。使用 KodaKX-Omat 胶片在 -70℃ 下放射自显影 4 d 至 2 周。标记的探针在 50% 和 1% SDS 洗涤液中, 67℃ 洗涤 1 h, 被洗脱。另外 2 种探针分别按上述方法进行多次杂交。最后, 采用计算机软件 ImageQuant 3.2 扫描胶片, 绘制和标记杂交图谱, 供分析和研究使用。

## 2 结果

Southern 印渍图谱如图 2 所示。由图 2 可见, 经 *Bam* H I 消化后的血吸虫成虫、尾蚴基因组 DNA, 分别与 pSM HCR5、pSM HCR4、pSM 889 杂交后, 在 pSM HCR4

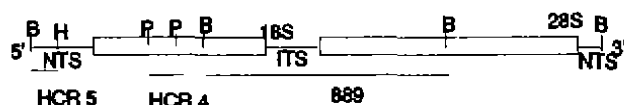


图 1 曼氏血吸虫核糖体 RNA 基因单位结构

Fig. 1 The arrangement of the ribosomal RNA gene unit of *S. mansoni*

B、H 和 P 为限制性内切酶 *Bam* H I、*Hind* III 和 *Pst* I 的酶切位点 NTS 和 ITS 分别为非转录间隔区和内转录间隔区。pSM HCR5、pSM HCR4 和 pSM 889, 3 种 DNA 探针来源如图下方所示。(参 McCutchan, 1984)

杂交带型(B)中, 曼氏血吸虫尾蚴在 1.6—2.8 kb 之间, 有多条明显的杂交带。而成虫缺如, 但其共有 3.0 kb 主杂交带。曼氏血吸虫成虫二株(OZ. A 和 NMRI)在 pSM HCR4 的杂交带型(B)中, NMRI 约在 2.7 kb 处有一弱杂交带, 其它两探针杂交带型无明显差异。虫种间杂交带型亦有明显区别, 日本血吸虫成虫在 pSM HCR5 杂交带型(A)中, 明

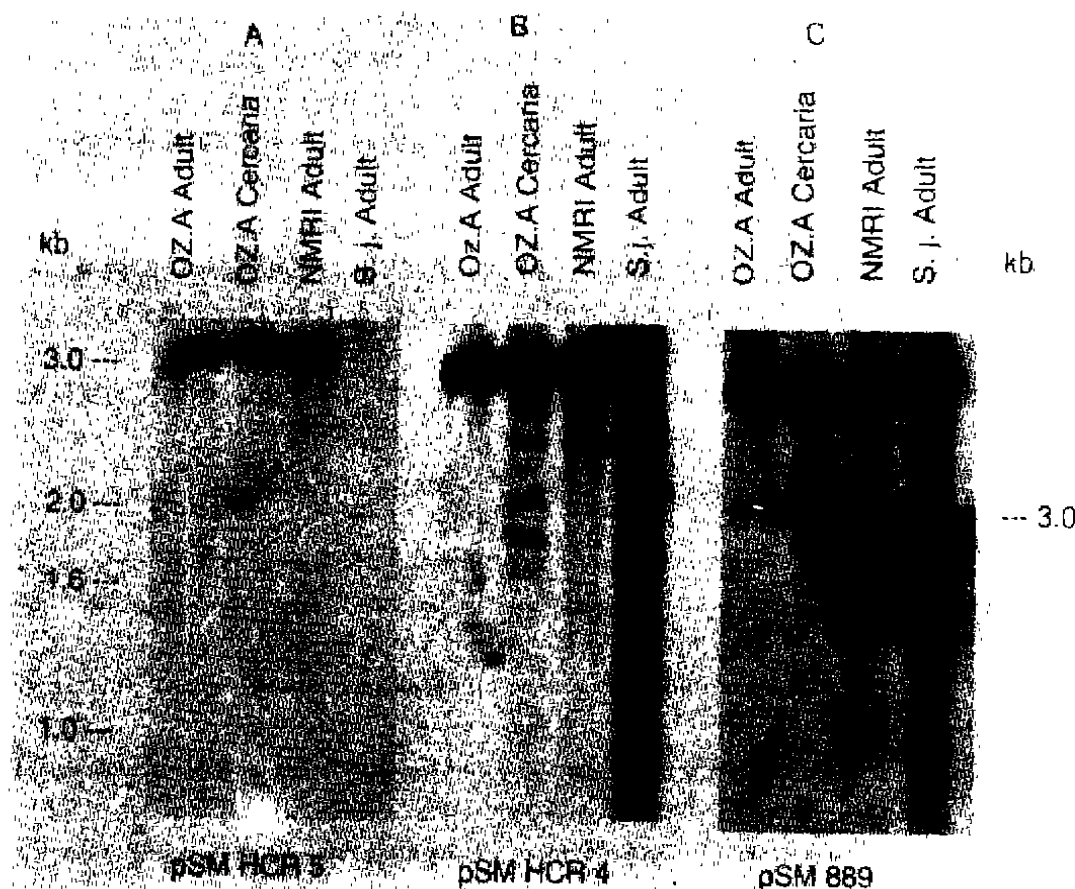


图 2 曼氏血吸虫(OZ. A 株)成虫和尾蚴, 曼氏血吸虫(NMRI 株)成虫, 日本血吸虫(安徽株)成虫在 *Bam* H I 消化后与  $^{32}\text{P}$  标记的 rRNA 基因探针-pSM HCR5, pSM HCR4 和 pSM 889 的杂交带型(A. B. C)

Fig. 2 Hybridization of  $^{32}\text{P}$ -labelled probes pSM HCR5, pSM HCR4 and pSM 889, which form part of the schistosome ribosomal RNA genes, to Southern blots of genomic DNA isolated from *S. mansoni* (OZ. A) adult and cercaria, *S. mansoni* (NMRI) adult, and *S. japonicum* adult as shown in panel A, B and C

图谱 A、B 的 kb 标记于图左侧, 图谱 C 的 kb 标注于图右侧

显缺失 3.0 kb 杂交带,而在 pSM HCR4 和 pSM 889 杂交带型(B 和 C)中,呈现有强的杂交信号,但仍可看出 3 种杂交带型(A、B 和 C)与曼氏血吸虫成虫和尾蚴形成鲜明对比。

### 3 讨论

本项研究表明用 rRNA 基因中的 18 s 编码区 *Pst* I 消化片段(pSM HCR4)作为基因探针与曼氏血吸虫(OZ. A 株)成虫和尾蚴基因组 DNA 杂交,呈现发育阶段特异性杂交带型。这种期特异性 DNA 的丢失或重组可能与病毒感染、转移因子和抗原差异有关(Leski 等, 1986; Sakano 等, 1978)。Nara(1990)认为血吸虫发育过程中至少有两次基因重组,即在毛蚴的形成和子孢子的分裂过程中,表现有期特异性 DNA 序列。尾蚴与成虫基因组 DNA 差异表明了血吸虫发育至少有 3 次以上的 DNA 重组现象,这可能与血吸虫适应差异巨大的生活环境密切相关。为探讨基因组 DNA 在血吸虫发育过程的动态变化及其意义,有必要进一步对其进行深入系统的研究。

血吸虫基因组 DNA 中的核糖体 RNA 基因编码区(pSM HCR4)同源序列的动态变化,表明 18 s 基因是一个易变的“热点”。业已证明 18 s 基因的变异与曼氏血吸虫噻吨酮(hycanthone)的抗性有关(Brindley 等, 1991)。但是这种变化如何影响到基因表达还不十分清楚。

此外,核糖体 RNA 基因探针对株间和种间差异的鉴别和区分,有重要的实际意义。

### 参 考 文 献

- Brindley P J *et al*, 1991. Characterization of a programmed alteration in an 18s ribosomal genes that accompanies the experimental induction of drug resistance in *Schistosoma mansoni*. *Proc. Natl. Acad. Sci. USA*, **88**: 7754-7758.
- Laski *et al*, 1986. Tissue specificity of *Drosophila* P element transposition is regulated at the level of mRNA splicing. *Cell*, **44**: 7-19.
- McCutchan F T *et al*, 1984. Differentiation of schistosomes by species, strains, and sex by using cloned DNA markers. *Proc. Natl. Acad. Sci. USA*, **81**: 889-893.
- Nara T *et al*, 1990. Dynamic changes of DNA sequences in *Schistosoma mansoni* in the course of development. *Parasitology*, **100**: 241-245.
- Sakano *et al*, 1979. Sequences at the somatic recombination sites of immunoglobulin light-chain genes. *Nature*, **280**: 288-294.
- Seidman J C *et al*, 1978. The arrangement and rearrangement of antibody genes. *Nature*, **276**: 790-795.
- Spradling A C *et al*, 1980. Amplification of genes for chorion proteins during oogenesis in *Drosophila melanogaster*. *Proc. Natl. Acad. Sci. USA*, **77**: 1096-1100.
- Van Der Ploeg, L H T *et al*, 1989. Chromosomes rearrangements in *Trypanosoma brucei*. *Cell*, **39**: 213-221.

## GENOMIC VARIABILITY BETWEEN ADULT AND CERCARIA OF *Schistosoma mansoni*

Fan Jinjiang

(Institute of Parasitic Diseases\*, Zhejiang Academy of Medical Sciences, Hangzhou 310013)

Paul J. Brindley

(Tropical Health Program, Queensland Institute of Medical Research, Qld 4029 Australia)

### Abstract

Genomic DNA was prepared from *Schistosoma mansoni* (OZ. A) adult and cercaria, *S. mansoni* adult (NMRI), *S. japonicum* adult, and was hybridized to three  $^{32}\text{P}$ -labelled probes pSM HCR5, pSM HCR4, pSM 889 after cleavage by restriction endonuclease *Bam* H I. The resulting hybridization banding patterns with pSM HCR4 are significantly different between cercaria and adult of *S. mansoni* (OZ. A) from 1.6 kb to 2.8 kb except there is a same size 3.0 kb major band. There is a minor band in pSM HCR4 pattern for *S. mansoni*, which can be identified from *S. mansoni* adult (OZ. A). Moreover, *S. japonicum* adult have no 3.0 kb major band in pSM HCR5 pattern, which can be distinguished from *S. mansoni*. The results showed that there was a drastic change of genomic DNA from cercaria to adult, which maybe related to the adaptation of *S. mansoni* to extremely different living environment in their life-cycle, and also provides more immediate evidence of existence of dynamic changes in the course of development in *S. mansoni*.

**Key words** *Schistosoma mansoni*, Individual development, Gene elimination, DNA hybridization, Restriction endonuclease

---

\* WHO Collaborating Centre for Research on Helminthiasis